

اثر بارگذاری و انادیم بر عملکرد کاتالیست و انادیم پنتا اکسید بر پایه تیتانیم فسفات در فرایند اکسایش انتخابی ارتوزایلن به انیدرید فتالیک

علی اکبری چوبی⁺، سید مهدی علوی املشی*

تهران، دانشگاه علم و صنعت ایران، دانشکده مهندسی شیمی

چکیده: در این پژوهش به عملکرد کاتالیست و انادیم پنتا اکسید بر پایه تیتانیم فسفات در واکنش تولید انیدرید فتالیک به وسیله اکسایش کاتالیستی انتخابی با ارتوزایلن پرداخته شد. برای بررسی اثر بارگذاری و انادیم، نمونه کاتالیست با مقدار فاز فعال ۲، ۷، ۱۲ و ۱۵٪ وزنی ساخته شد. برای تعیین ویژگی های نمونه ها، آزمایش های BET، XRD، TGA، SEM و آزمون راکتوری برای ارزیابی فعالیت و گزینش پذیری انیدرید فتالیک NH₃-TPD، اساس الگوهای XRD پیش از واکنش، تیتانیا در فاز بلوری آناتاژ دیده شد که برای واکنش صورت گرفت. بر اساس الگوهای XRD پیش از واکنش، تیتانیا در فاز بلوری آناتاژ دیده شد که برای اکسایش انتخابی ارتوزایلن، فاز دلخواه است. با افزایش بارگذاری و انادیم، تعداد سایت های اسیدی سطح کاتالیست کاهش یافته و فعالیت کاتالیستی و گزینش پذیری انیدرید فتالیک بهبود می یابد. در مقدارهای بالای وانادیم به دلیل تشکیل بلورهای V₂O₅ روی سطح کاتالیست، تاثیر بارگذاری فاز فعال بر روی عملکرد کاتالیستی کاهش می یابد. نمونه 15V-TiP بیشترین گزینش پذیری نسبت به انیدرید فتالیک با مقدار ۳۷٪ در دمای ۴۵ درجه سلسیوس نشان داد.

واژه های کلیدی: اکسایش انتخابی؛ انیدرید فتالیک؛ وانادیم پنتا اکسید؛ تیتانیم فسفات؛ بارگذاری وانادیم.

KEYWORDS: Selective oxidation; Phthalic anhydride; Vanadium(V) oxide; Ti-phosphate; Vanadium loading.

مقدمه

با اکسایش بخار نفتالین روی کاتالیست وانادیم پنتا اکسید، جهش بزرگی در صنعت تولید انیدرید فتالیک رخ داد [۱، ۲]. از دهه ۱۹۶۰ میلادی بیشترین روش سنتز انیدرید فتالیک، اکسایش انتخابی ارتوزایلن درون یک بستر ثابت کاتالیستی در فشار نزدیک به اتمسفر، بازه هی دمایی بین ۳۰۰ تا ۴۵۰ درجه سلسیوس

انیدرید فتالیک یک فراورده هی مهم میانی در تولید نرم کننده های فتالات^(۱)، رزین های پلی استر و آکلدل^(۲)، فتالو سیانین های رنگی^(۳) و بسیاری از فراورده های مهم شیمیایی می باشد [۳]. از نظر تاریخی انیدرید فتالیک اولین بار در سال ۱۸۷۲ میلادی در فاز دوغایی به دست آمده از خوارک نفتالین تولید شده است. با اصلاح روش تولید

+E-mail: alavi.m@iust.ac.ir

* عهده دار مکاتبات

(۱) Phthalate plasticizers

(۳) Phthalocyanine dyes

(۲) Alkyd and polyester resins

۱- ساخت پایه کاتالیست تیتانیم فسفات
 ۲- تلچیح تر پایه کاتالیست با مقدارهای گوناگون وانادیم
 پایه کاتالیست تیتانیم فسفات به روش سل ژل و با استفاده از مواد آورده شده در جدول ۱ تهیه شد [۱۴]. محلول ۲ مolar فسفریک اسید با محلول ۱ مolar تیتانیم تتراکلرید مخلوط شده و به مدت ۲۴ ساعت در دمای ۶۵ درجه سلسیوس روی گرم کن هم زده شد. ژل به دست آمده به مدت ۴۸ ساعت در دمای محیط به صورت ساکن (عملیات پیر سازی) رها شد. چند قطره محلول ۲۵ درصد وزنی تترا متیل آمونیوم به عنوان هیدروکربن افزوده شد تا pH به ۱۲/۵ برسد . سپس محلول ۲۵ درصد وزنی هگزا دسیل تری متیل آمونیوم برミد به عنوان فعال کننده سطحی افزوده شد و محلول برای ۳-۵ ساعت در ۶۵ درجه سلسیوس هم زده شد. سپس محلول ۲ مolar فسفریک اسید به صورت قطره ای افزوده شد تا pH به ۳ برسد. ژل به دست آمده به مدت ۴۸ ساعت در دستگاه تبخیر کننده دوار تحت خلا و دمای ۶۵ درجه سلسیوس قرار گرفت و سپس فاز جامد به وسیله تصفیه در خلا از فاز محلول جدا شده و ۳ بار با آب مقطر شسته شد. به منظور حذف فعال کننده سطحی، نمونه ها با محلول دارای ۶۰ میلی لیتر هیدروژن کلرید و ۴۰ میلی لیتر اتانول شسته شدند. فراوردهی نهایی در دمای ۲۵ درجه سلسیوس در ۶ ساعت خشک و در ادامه در دمای ۵۵ درجه سلسیوس برای ۴ ساعت کلسینه شد.

کاتالیست ها شامل مقدارهای نظری ۲ ، ۷ ، ۱۲ و ۱۵ درصد وزنی وانادیم با استفاده از روش تلچیح تر تهیه شدند. محلولی آبی از مقدارهای تعیین شده آمونیوم متاوانادات (مرک) به پایه تهیه شده اضافه شد. حلال در دمای ۷۰ درجه سلسیوس تبخیر شد. پس از تلچیح فاز فعال بر روی پایه، نمونه ها در درون آون در دمای ۱۵۰ درجه سلسیوس به مدت ۳ ساعت خشک شدند. سپس نمونه های خشک شده به مدت ۵ ساعت در دمای ۵۵ درجه سلسیوس کلسینه شده. کاتالیست های ساخته شده با نماد xV-TiP (x نشان دهنده درصد وزنی وانادیم) مشخص شدند.

تعیین ویژگی های کاتالیست

مساحت سطح نمونه ها با استفاده از هم دماهای جذب نیتروژن در دمای ۷۷ درجه کلوین به روش BET توسط دستگاه Quantochrome Autosorb-I volumetric XRD برای پایه و نمونه های کاتالیستی پیش از واکنش

و با خوراکی شامل ۰/۵ تا ۱/۸ % حجمی ارتوزایلن در هوا می باشد [۴-۵]. در فرایندهای قدیمی با خوراک نفتالین ، کاتالیست مورد استفاده از اکسید وانادیم تشکیل شده بود . با ورود ارتوزایلن، نسل تازه ای از کاتالیست ها به صورت ذره های کروی با پوشش نازک وانادیم پتا اکسید بر پایه تیتانیا معرفی شدند. امروزه همه کاتالیست های صنعتی از وانصرهای گوناگون تقویت کننده ساخته می شوند [۲-۵]. همراه با عنصرهای گوناگون تقویت کننده ساخته می شوند [۲-۵]. یکی از مشکل هایی که در زمان فرایند ممکن است برای کاتالیست های وانادیا بر پایه تیتانیا پیش آید تغییر فاز بلوری تیتانیا از آناتاز به روتایل است [۶-۷]. در دماهای بالا این انتقال فازی که در اثر وجود وانادیا تشدید می شود، موجب غیر فعال شدن همیشگی کاتالیست و کاهش میزان تبدیل و گزینش پذیری انیدرید فتالیک می شود [۸-۱۲].

برای مقابله با تغییر فاز آناتاز به روتایل تیتانیم اکسید ، در ترکیب تیتانیم از اکسیدهای دیگری چون سیلیسیم [۶] و زیرکونیم [۱۳] استفاده شده است که در مقایسه با پایه تیتانیم خالص، میزان فعالیت پایه های ترکیبی پایین تر بوده ولی پایداری کاتالیست تا حد قابل قبولی افزایش یافته است . روش دیگر برای مقابله با این امر ، ترکیب تیتانیم با عنصرهای اسیدی چون فسفر است. فسفر افزون بر آن که تغییر فاز تیتانیم را به تأخیر می اندازد با افزایش تعداد سایت های اسیدی، توزیع وانادیم پتا اکسید را بر سطح پایه افزایش داده و سبب بهبود فعالیت کاتالیست می شود [۱۴، ۱۵]. برهمکنش بین وانادیا و تیتانیا موجب تشکیل انواع گوناگون ساختاری وانادیا (گونه ایزوله، گونه پلیمری و گونه بلوری) بر سطح پایه می شود [۱۶-۹]. بنابراین یکی دیگر از عامل های مهم در رفتار کاتالیستی فرایند اکسایش انتخابی ارتوزایلن، میزان بارگذاری وانادیا بر سطح پایه می باشد [۱۸-۱۶]. با افزایش میزان بارگذاری وانادیا ، ساختار وانادیا بر سطح پایه از ایزوله به پلی وانادات و بلوری تغییر می کند که موجب کاهش فعالیت و گزینش پذیری انیدرید فتالیک می شود [۱۶].

در این مقاله به بررسی رفتار کاتالیست وانادیم پتا اکسید بر پایه تیتانیم فسفات با بارگذاری گوناگون وانادیم در واکنش اکسایش انتخابی ارتوزایلن پرداخته می شود.

بخش تجربی تعیین ویژگی های کاتالیست

ساخت کاتالیست وانادیم پتا اکسید بر پایه تیتانیم فسفات در دو مرحله خلاصه می شود:

جدول ۱- ویژگی‌های مواد استفاده شده در تهیه پایه کاتالیست.

شرکت سازنده	جرم مولی(گرم بر مول)	خلوص	فرمول شیمیایی	مواد مورد استفاده
سیگما آلدrijج	۹۸	%۸۵	H _۷ PO _۴	فسفریک اسید
سیگما آلدrijج	۱۸۹/۷۱	%۱۰۰	TiCl _۴	تیتانیم تراکلرید
سیگما آلدrijج	۱۸۱/۲۳	%۹۹	N(CH _۳) _۴ ⁺ OH ⁻	ترامتیل آمونیوم هیدروکسید
سیگما آلدrijج	۳۶۴/۴۵	۵	C _{۱۹} H _{۴۷} BrN	هگزا دسیل تری متیل آمونیوم برمید
سیگما آلدrijج	۳۶/۴۶	%۱۰۰	HCl	هیدروژن کلرید
سیگما آلدrijج	۴۶/۰۶۸	%۱۰۰	C _۷ H _۶ O	اتانول

اندازه ذره‌های کاتالیست بین بازه‌ی ۲۵۰-۵۵۰ میکرومتر بود. پیش از انجام هر آزمون، پیش گرم کردن هر نمونه به مدت ۱ ساعت در دمای ۴۰۰ درجه سلسیوس در جریان هوا صورت می‌گرفت. پس از آن دمای راکتور در ۳۵۰ درجه سلسیوس تنظیم شد تا اولین آزمون انجام شود. بسته بین در خروجی راکتور و کروماتوگرافی گاز قرار داده شد تا قسمتی از فراورده‌های واکنش و ارتوزایلن تبدیل نشده چگالیده شود. برای سنجش فراورده‌های واکنش از کروماتوگرافی گازی (GC-3920, Perkin-Elmer) مجهز به آشکارساز یونش شعله‌ای و هدایت گرمایی استفاده شد.

نتیجه‌ها و بحث

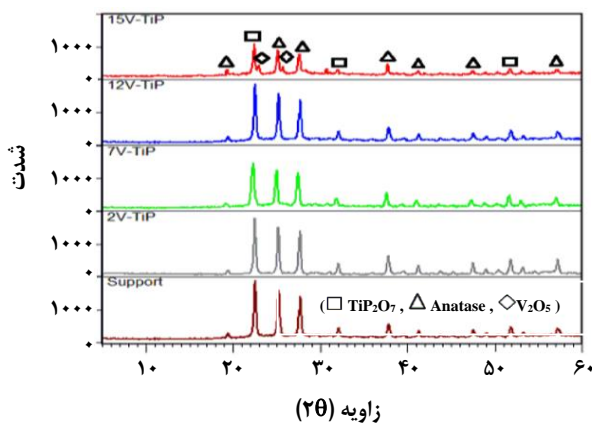
TGA

با توجه به شکل ۱ کاهش وزن کلی نمونه پایه (۸۹/۸۳-%) در چهار مرحله اتفاق می‌افتد. مرحله اول از دمای محيط آغاز می‌شود و تا دمای ۱۴۰ درجه سلسیوس ادامه می‌یابد. این کاهش وزن بیشتر مربوط به حذف آب جذب شده یا هیدراسیون است که در مواد پیش سازنده باقی مانده است. کاهش وزن دوم در بازه‌ی دمایی ۱۴۰-۲۸۰ درجه سلسیوس به علت تجزیه گروه‌های هیدروکسی است. کاهش وزن سوم در بازه‌ی دمایی ۲۸۰-۶۲۰ درجه سلسیوس که بیشترین کاهش وزن در پایه است مربوط به تجزیه و حذف فعال کننده سطحی می‌باشد. کاهش وزن چهارم در بازه‌ی دمایی ۶۲۰-۸۵۰ درجه سلسیوس هم به علت حذف اتانول جذب شده در طی استخراج فعال کننده سطحی است [۲۲، ۱۴]. درنتیجه دمای ۵۵۰ درجه سلسیوس برای پایه به عنوان یک دمای مناسب برای کلسینه شدن است چرا که به تقریب ۸۰٪ کاهش وزن در بازه‌ی دمایی ۲۵-۵۵۰ درجه سلسیوس صورت گرفته است.

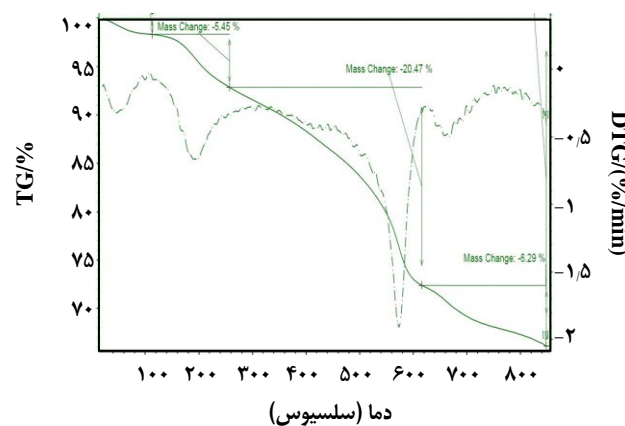
با استفاده از دستگاه PHILIPS X'Pert XRD مدل 600 ساخت کشور هلند و با استفاده از صافی Cu K α در بازه‌ی زاویه های ۴۰° تا ۶۰° و سرعت چرخش ۲۰ معادل ۱°/min به دست آمدند. با عکسبرداری توسط میکروسکوپ الکترونی روشنی (SEM) ریخت شناسی و توزیع اندازه حفره‌ها تعیین شد. میکروسکوپ الکترونی از نوع ESEM-XL30 Philips شناسایی قدرت اسیدی کل و مکان‌های اسید قوی و ضعیف، روش دفع برنامه‌ریزی شده گرمای (TPD) با استفاده از مولکول آمونیاک انجام شد. در این روش به منظور بررسی جذب مولکول AMERICAN micrometrics TPD/TPR 2900 استفاده شد. در این دستگاه که مجهز به یک ثبت کننده هدایتی گرمای (TCD) است، آنالیز با جذب شیمیایی انجام گرفت. به منظور تجزیه گرمایی پایه کاتالیست از دستگاه TGA مدل NETZSCH TG 209 F1 استفاده شد. بدین منظور، نمونه پیش از کلسینه شدن پس از تصفیه و شست و شو، از دمای محيط تا ۸۵۰ درجه سلسیوس با شیب ۱۰°C/min در جو هوا با شدت جریان ۱۰۰ cm³/min گرمای داده شد.

آزمون راکتوری

آزمون راکتوری کاتالیست‌ها در یک راکتور لوله‌ای بستر ثابت از جنس استنیل به طول ۵۵۰ میلی متر و قطر داخلی و خارجی ۸ و ۱۲ میلی متر در فشار جو و در بازه دمایی ۳۵۰-۴۵۰ درجه سلسیوس صورت گرفت. شدت جریان هوا و ورودی به راکتور ۹۰ میلی لیتر بر دقیقه تنظیم شد و ارتوزایلن ورودی با غلظت ۱٪ مولی در هوا با استفاده از پمپ سرنگی به درون جریان هوا تزریق شد. میزان کاتالیست استفاده شده در هر آزمایش ۰/۵ گرم بوده که با ۳/۵ گرم سیلیکون کاربید (SiC) ریقق شده بود.



شکل ۲- نمودارهای XRD نمونه های سنتز شده و پایه کاتالیست قبل از مون راکتوری.



شکل ۱- منحنی TGA مربوط به پایه کاتالیست قبل از کلسیناسیون.

BET

نتیجه های به دست آمده از تست BET انجام شده بر روی نمونه ها بعد از فرایند کلسیناسیون در جدول ۲ آورده شده است. همان گونه که دیده می شود با افزودن وانادیم به پایه کاتالیست سطح ویژه کاهش یافته و علت آن این است که تیتانیم فسفات یک پایه بسیار متخلخل با سطح ویژه بالاست. با افزایش میزان وانادیم، حفره های پایه از وانادیم پر شده و نمونه ها به مقدار اندک متخلخل می شوند.

NH₃-TPD

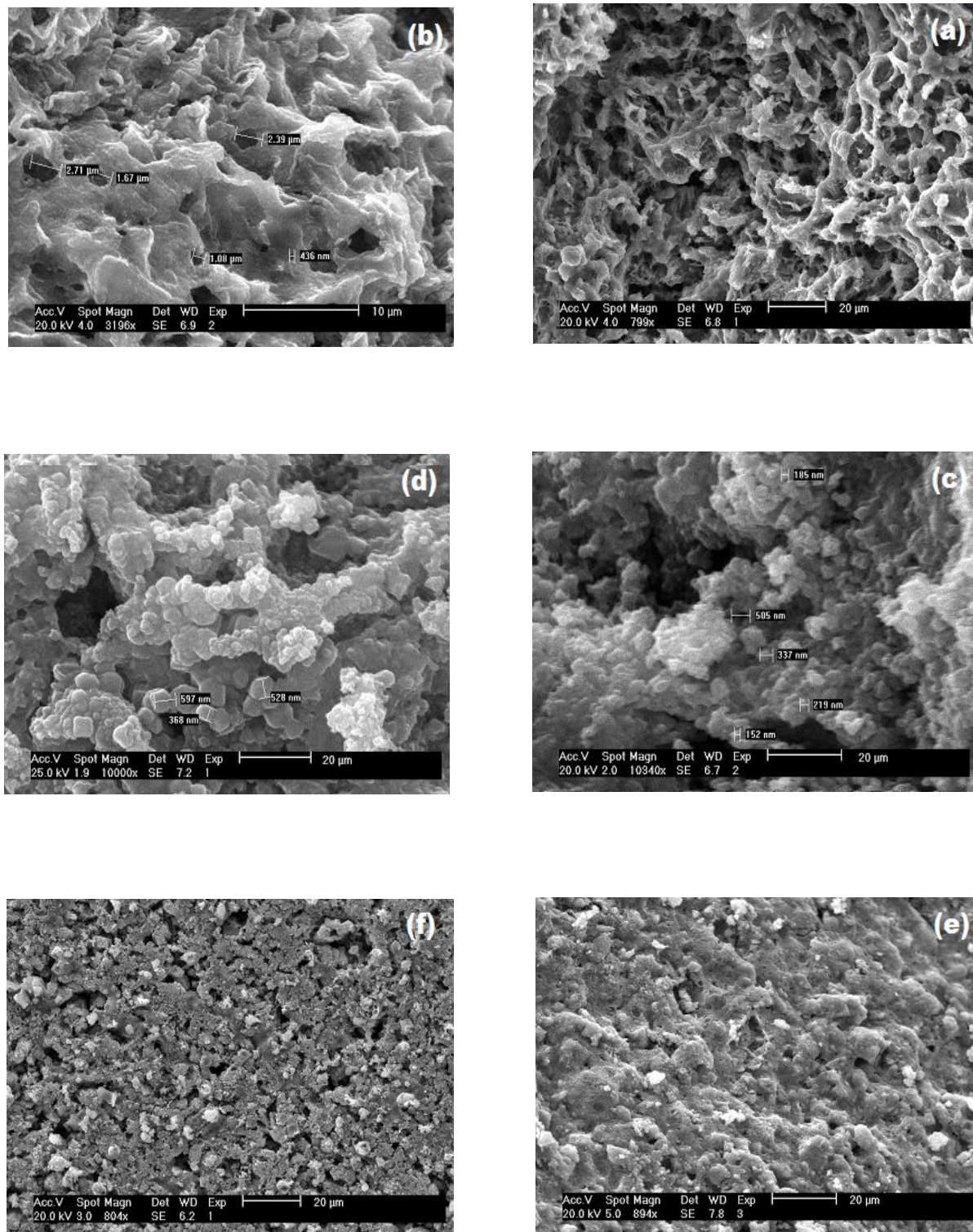
دفع آمونیاک با برنامه دمایی به منظور تخمین تعداد سایت های اسیدی سطح کاتالیست استفاده می شود. جدول ۳ کل اسیدیته و تعداد سایت های اسیدی دفع شده در بازه دمایی ۶۰۰-۱۰۰ درجه سلسیوس برای ۵ نمونه کاتالیست را نشان می دهد. مقدار کل اسیدیته پایه حدود $1262 \mu\text{mol NH}_3/\text{g}$ بوده که مربوط به گروه های $\text{P}(\text{OH})_2$ ، $\text{P}(\text{OH})$ و Ti(OH) با مشخصه بروونستد و سایت تیتانیم با مشخصه لوئیس می باشد [۱۴]. در بازه دمایی ۶۰۰-۴۰۰ درجه سلسیوس، سایت های اسیدی برای پایه کاتالیست از نوع قوی هستند که حدود ۱۵٪ آمونیاک در این بازه دفع می شود. حدود ۶۵٪ آمونیاک در بازه دمایی ۳۰۰-۱۰۰ درجه سلسیوس دفع می شود که اشاره به غالب بودن گروه های $\text{P}(\text{OH})_2$ ، $\text{P}(\text{OH})$ و Ti(OH) در این بازه دمایی دارد که تشخیص این گروه ها به کمک آنالیز FT-IR صورت می گیرد [۲۲]. با افزایش بارگذاری وانادیم، مقدار کل اسیدیته از ۸۴۷ برای نمونه 2V-TiP به حدود $264 \mu\text{mol/g}$

XRD

در شکل ۲ نمودارهای مربوط به XRD کاتالیست های تهیه شده پیش از واکنش نشان داده شده اند. بر اساس این الگوها تیتانیا در فاز بلوری آناتاز دیده می شود که برای واکنش اکسایش انتخابی ارتوزایلن فاز مطلوب است [۲۱-۲۱]. برای نمونه های 2V-TiP و 7V-TiP ۱۲V-TiP پیک های مربوط به وانادیم پنتا اکسید دیده نمی شود که بیان کننده تشکیل نشدن فاز بلوری وانادیا بر سطح کاتالیست می باشد اما در نمونه 15V-TiP پیک های مربوط به وانادیم پنتا اکسید دیده می شود که نشان می دهد با افزایش بارگذاری وانادیا، وانادیم تمايل دارد به صورت بلوری بر سطح پایه کاتالیست بنشیند.

SEM

مطالعه بر روی بافت کاتالیست های تهیه شده با استفاده از میکروسکوپ الکترونی روبشی انجام گرفته و تصویرهای مربوط به آنالیز SEM در شکل ۳ نشان داده شده است. همان گونه که مشخص است ساختار تیتانیم فسفات به صورت کاملاً متخلخل است که با بارگذاری وانادیم بر روی پایه، میزان تخلخل کاهش می یابد. بر اساس دسته بندی که توسط آبیپاک صورت گرفته است، ساختار محیط متخلخل با توجه به میانگین اندازه های حفره ها می تواند دارای حفره هایی کوچکتر از ۲ نانومتر با نام میکرو حفره، حفره هایی بین ۲ تا ۵۰ نانومتر با نام مزو حفره و حفره هایی بزرگ تر از ۵۰ نانومتر با نام ماکرو حفره باشد. با توجه به میانگین اندازه خلل و فرج بیش از ۵۰ نانومتر برای نمونه ها، ساختار محیط متخلخل به صورت ماکرو حفره می باشد.



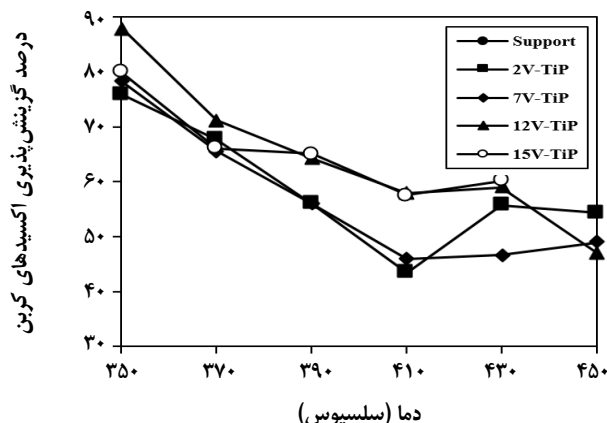
شکل ۳- تصویر SEM نمونه‌های ساخته شده (a) و (b) پایه کاتالیست ، 7V-TiP (d) ، 2V-TiP (c) ، 12V-TiP (e) ، 15V-TiP (f) ،

جدول ۲- سطح ویژه نمونه‌های کاتالیستی.

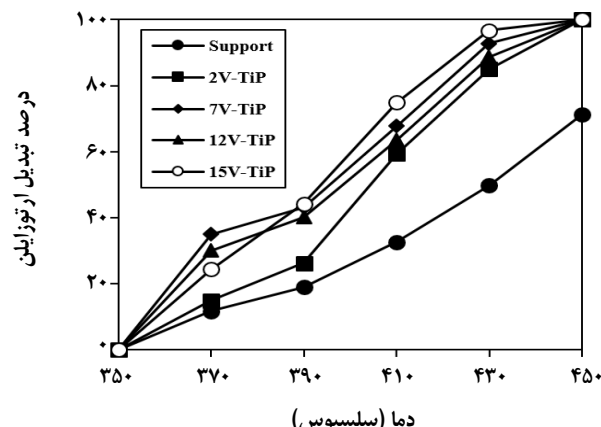
نمونه	پایه	۲V-TiP	۷V-TiP	۱۲V-TiP	۱۵V-TiP
سطح ویژه (متر مربع بر گرم)	۲۳۷	۱۶۲	۱۱۲	۸۱	۳۴

جدول ۳- تعداد سایت‌های اسیدی ($\mu\text{mol NH}_3/\text{gr}$) به دست آمده از آنالیز $\text{NH}_3\text{-TPD}$.

نمونه	۱۰۰ - ۲۰۰ °C	۲۰۰ - ۳۰۰ °C	۳۰۰ - ۴۰۰ °C	۴۰۰ - ۵۰۰ °C	۵۰۰ - ۶۰۰ °C	اسیدیته کل
پایه کاتالیست	۳۹۰	۴۵۷	۲۰۷	۱۱۱	۹۷	۱۲۶۲
۲V-TiP	۲۲۷	۳۰۳	۱۵۸	۸۹	۷۰	۸۴۷
۷V-TiP	۱۱۸	۲۱۹	۱۶۷	۷۸	۶۶	۶۴۸
۱۲V-TiP	۹۵	۱۱۷	۱۱۳	۷۹	۶۵	۴۶۹
۱۵V-TiP	۴۲	۹۸	۹۴	۷۳	۵۷	۳۶۴



شکل ۶- گزینش پذیری اکسیدهای کربن به صورت تابعی از دما.



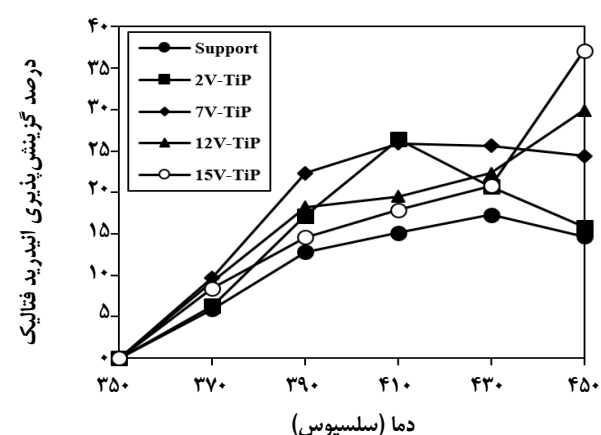
شکل ۴- میزان تبدیل ارتوزاپلن به صورت تابعی از دما.

برای نمونه ۱۵V-TiP کاهاش یافته است. این کاهاش برای بازه‌ی دمایی گوناگون یکنواخت نیست و برای سایت‌های اسیدی ضعیف ($300-400$ درجه سلسیوس) چشمگیر است [۲۳-۲۵].

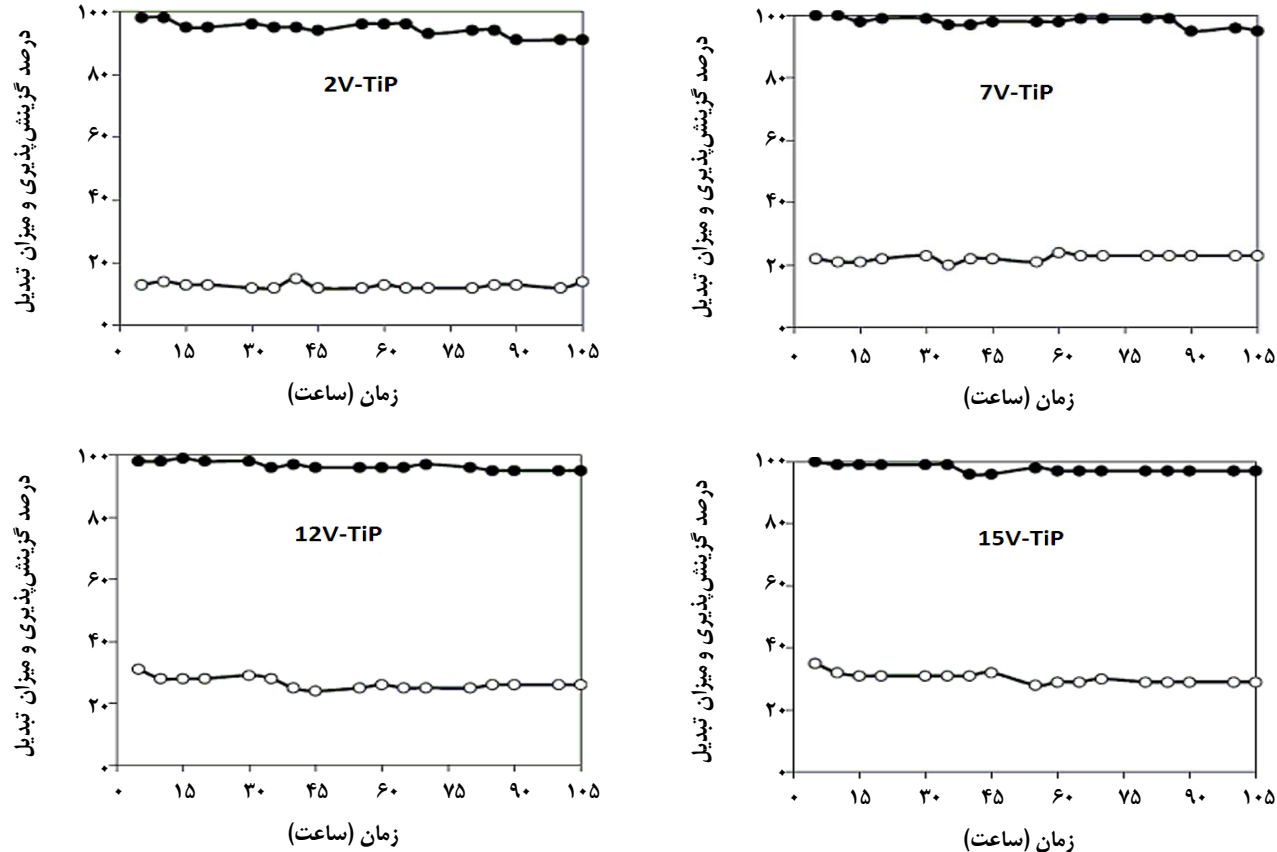
آزمون راکتوری

شکل‌های ۴ تا ۶ نتیجه‌های آزمون راکتوری برای اکسایش ارتوزاپلن در بازه‌ی دمایی $350-450$ درجه سلسیوس را روی نمونه‌ها نشان می‌دهد.

با توجه به شکل ۴، میزان تبدیل ارتوزاپلن برای پایه خالی پایین بوده به طوری که ماکزیمم آن در دمای 450 درجه سلسیوس و $\%71$ می‌باشد. با اتصال وانادیم، میزان تبدیل ارتوزاپلن بهبود یافته است.



شکل ۵- گزینش پذیری ایندرید فتالیک به صورت تابعی از دما.



شکل ۷- پایداری کاتالیست‌ها بر حسب زمان واکنش در دمای 450°C . (● تبدیل ارتوزایلن ، ○ گزینش پذیری انیدرید فتالیک)

برای کاتالیست‌های 12V-TiP و 15V-TiP با افزایش دما گزینش پذیری روند افزایشی دارد و بیشینه مقدار آن برای دو نمونه در دمای 450 درجه سلسیوس است. بیشترین گزینش پذیری انیدرید فتالیک در بین نمونه‌ها برای کاتالیست 15V-TiP در دمای 450 و مقدار $\%37$ می‌باشد. با مقایسه شکل‌های 5 و 6 مشخص است که با افزایش گزینش پذیری انیدرید فتالیک، گزینش پذیری اکسیدهای کربن کاهش یافته است. نتیجه‌های دفع آمونیاک با برنامه دمایی نشان داد که با اتصال وانادیم به پایه تیتانیم فسفات، سایت‌های اسیدی کاهش می‌یابد. در مقدارهای اندک وانادیم به دلیل بالا بودن سایت‌های اسیدی، گزینش پذیری فتالیک انیدرید پایین می‌باشد در حالی که با افزایش بارگذاری وانادیم به دلیل کاهش سایت‌های اسیدی سطح کاتالیست، تشکیل فراورده‌های اکسایش کلی ارتوزایلن (اکسیدهای کربن) کاهش یافته و گزینش پذیری فتالیک انیدرید افزایش می‌یابد. پایداری کاتالیست‌ها در دمای 450 درجه سلسیوس برای 105 ساعت نیز بررسی شد (شکل ۷). نتیجه‌ها نشان می‌دهد که همه نمونه‌ها پایداری بالایی را در این واکنش از خود نشان می‌دهند.

در مقدارهای بالای وانادیم به دلیل تشکیل بلورهای V_2O_5 ، تاثیر بارگذاری وانادیم بر فعالیت کاتالیستی ناچیز می‌شود. در واقع، در مقدارهای بالای وانادیم، اتصال‌های اضافی وانادیم منجر به پخش ناهمگون و تشکیل بلور V_2O_5 می‌شود. تشکیل فاز بلوری V_2O_5 در الگوی XRD مربوط به نمونه 15V-TiP دیده شد. تا پیش از تشکیل بلورهای V_2O_5 ، با افزایش میزان وانادیم میزان فاز فعال در دسترس برای انجام واکنش افزایش می‌یابد و با تشکیل فاز بلوری، تأثیر بارگذاری وانادیم در میزان تبدیل ارتوزایلن کاهش پیدا می‌کند. برای همه نمونه‌ها در دمای 450 درجه سلسیوس میزان تبدیل $\%100$ می‌باشد و در جریان خروجی از راکتور ارتوزایلن دیده نمی‌شود. با توجه به شکل ۵ پایه کاتالیست تیتانیم فسفات گزینش پذیری اندک انیدرید فتالیک را نشان می‌دهد به طوریکه بیشترین مقدار آن 2V-TiP و در دمای $\%30$ درجه سلسیوس می‌باشد. برای نمونه‌های 7V-TiP و 12V-TiP گزینش پذیری با افزایش دما افزایش یافته اما پس از رسیدن به یک مقدار بیشینه با افزایش دما کاهش یافته است. مقدار بیشینه گزینش پذیری برای این دو نمونه در دمای 410 درجه می‌باشد.

نتیجه گیری

اثر میزان بارگذاری وانادیم بر عملکرد کاتالیست وانادیم پتا اکسید بر پایه تیتانیم فسفات در واکنش اکسایش انتخابی ارتوزایلن به انیدرید فتالیک مورد بررسی قرار گرفت. کاتالیست‌ها با استفاده از روش تلقیح مرطوب با مقدارهای گوناگون وانادیم تهیه شدند. نتیجه‌های XRD برای نمونه‌های پیش از واکنش نشان داد که در مقدارهای بالای وانادیم، توزیع ناهمگون گونه‌های وانادیم روی سطح پایه افزایش می‌یابد و بلورهای V_2O_5 تشکیل می‌شود. روشن است که بهبود در روش ساخت کاتالیست برای رسیدن به پراکندگی بالای وانادیم مورد نیاز است پس باید به دنبال یک روش مناسب برای افزایش پراکندگی فاز فعال بود. با افزایش وانادیم میزان تبدیل ارتوزایلن و گزینش‌پذیری انیدرید فتالیک

مراجع

- [1] Wang Y., Zhang C., Yu Y., Yue R., [Ordered Mesoporous and Bulk \$Co_3O_4\$ Supported Pd Catalysts for Catalytic Oxidation of o-Xylene](#), *Catalysis Today* 242, Part B: 294-299(2015).
- [2] Sethapokin P., Kunatippapong S., Lothongkum A., [Estimation of Kinetic Parameters for the Reactor Model of the Phthalic Anhydride Production by the Design of Experiments](#), *Journal of Industrial and Engineering Chemistry*, **24**: 51-58 (2015).
- [3] Cavani, F., Caldarelli, A., Luciani, S., Cortelli, C., Cruzolin, F., [Selective Oxidation of o-Xylene to Phthalic Anhydride: from Conventional Catalysts and Technologies toward Innovative Approaches](#), *Catalysis*, **24**: 204-222 (2012).
- [4] Guetlhuber F., [Reactor Arrangement for Carrying out Catalytic Gas Phase Reactions, Especially to Obtain Phthalic Acid Anhydride](#), Google Patents, (2003).
- [5] Marx R., Wölk H., Mestl G., Turek T., [Reaction Scheme of o-Xylene Oxidation on Vanadia Catalyst](#), *Applied Catalysis A: General*, **398**(1-2): 37-43 (2011).
- [6] Scirè S., Liotta L., [Supported Gold Catalysts for the Total Oxidation of Volatile Organic Compounds](#), *Applied Catalysis B: Environmental*, **125**: 222-246 (2012).
- [7] Lee D.W., Yoo B., [Advanced Metal Oxide \(Supported\) Catalysts: Synthesis and Applications](#), *Journal of Industrial and Engineering Chemistry*, **20**(6): 3947-3959(2014).
- [8] Cha W., Chin S., Park E., Jurng J., [Effect of \$V_2O_5\$ Loading of \$V_2O_5/TiO_2\$ Catalysts Prepared via CVC and Impregnation Methods on NOx Removal](#), *Applied Catalysis B: Environmental*, **140-141**: 708-715 (2013).
- [9] Feng X., Yao Y., Su Q., Au C., [Vanadium Pyrophosphate Oxides: The Role of Preparation Chemistry in Determining Renewable Acrolein Production from Glycerol Dehydration](#), *Applied Catalysis B: Environmental*, **164**: 31-39 (2015).

- [10] Pei C.C., Leung W., Photocatalytic Oxidation of Nitrogen Monoxide and o-Xylene by $TiO_2/ZnO/Bi_2O_3$ Nanofibers: Optimization, Kinetic Modeling and Mechanisms, *Applied Catalysis B: Environmental*, **174-175**: 515-525(2015).
- [11] Wang H.Y, Lua A., Deactivation and Kinetic Studies of Unsupported Ni and Ni–Co–Cu Alloy Catalysts Used for Hydrogen Production by Methane Decomposition, *Chemical Engineering Journal*, **243**: 79-91 (2014).
- [12] Anastasov A.I., The Behaviour of a Low-Productive Non-Pretreated $V_2O_5-TiO_2$ (Anatase) Catalyst for Oxidation of o-Xylene to Phthalic Anhydride, *Chemical Engineering Journal*, **109**(1-3): 57-66 (2005).
- [13] Rao K., Venkataswamy P., Bharali P., Reddy B., Monolayer V_2O_5/TiO_2-ZrO_2 Catalysts for Selective Oxidation of Oxylenes: Preparation and Characterization, *Research on Chemical Intermediates*, **38**(3-5): 733-744 (2012).
- [14] Jones D.J., Aptel G., Brandhorst M., Jacquin M., Jiménez-Jiménez J., Jiménez-López A., High Surface Area Mesoporous Titanium Phosphate: Synthesis and Surface Acidity Determination, *Journal of Materials Chemistry*, **10**(8): 1957-1963(2000).
- [15] Jiménez-Jiménez J., Merida-Robles J., Rodriguez-Castellon E., Jimenez-Lopez A., Lopez Granados M., Oxidation of o-Xylene on Mesoporous Ti-Phosphate-Supported VO_x Catalysts and Promoter Effect of K⁺ on Selectivity, *Catalysis Today*, **99**(1-2): 179-186(2005).
- [16] Cavani F., Cortelli C., Frattini A., Panzacchi B., Ravaglia V., The Characterization of the V Species and the Identification of the Promoting Effect of Dopants in V/Ti/O Catalysts for o-Xylene Oxidation, *Catalysis Today*, **118**(3-4): 298-306 (2006).
- [17] Nobbenhuis M.G., Baiker A., Barnickel P., Wokaun A., Titania-Supported Vanadium Oxide Catalysts for the Selective Oxidation of o-Xylene to Phthalic Anhydride: Influence of Vanadia Content on Activity and Surface Species, *Applied Catalysis A: General*, **85**(2): 157-172(1992).
- [18] Luciani S., Ballarini N., Cavani F., Cortelli C., Cruzolin F., Anatase-Supported Vanadium Oxide Catalysts for o-Xylene Oxidation: From Consolidated Certainties to Unexpected Effects, *Catalysis Today*, **142**(3-4): 132-137(2009).
- [19] Lange T., Heinrich S., Liebner C., Klemm E., Reaction Engineering Investigations of the Heterogeneously Catalyzed Partial Oxidation of o-Xylene in the Explosion Regime Using a Microfixed Bed Reactor, *Chemical Engineering Science*, **69**(1): 440-448(2012).
- [20] Castillo-Araiza C.O., López-Isunza F., The Role of Catalyst Activity on the Steady State and Transient Behavior of an Industrial-Scale Fixed Bed Catalytic Reactor for the Partial Oxidation of o-Xylene on V_2O_5/TiO_2 Catalysts, *Chemical Engineering Journal*, **176-177**(0): 26-32(2011).
- [21] Gimeno M.P., Gascón J., Téllez C., Herguido J., Selective Oxidation of o-Xylene to Phthalic Anhydride Over V_2O_5/TiO_2 : Kinetic Study in a Fluidized Bed Reactor, *Chemical Engineering and Processing: Process Intensification*, **47**(9-10): 1844-1852(2008).

- [22] Semenyuk P.I., Muronetz V., Haertlé T., Izumrudov V., [Effect of Poly\(phosphate\) Anions on Glyceraldehyde-3-Phosphate Dehydrogenase Structure and Thermal Aggregation: Comparison with Influence of Poly\(Sulfoanions\)](#), *Biochimica et Biophysica Acta (BBA) - General Subjects*, 1830(10): 4800-4805(2013).
- [23] Youn S., Jeong S., Kim D., [Effect of Oxidation states of Vnadium Precursor Solution in V₂O₅/TiO₂ Catalysts for Low temperature NH₃ Selective Catalytic Reduction](#), *Catalysis Today*, 232: 185-191(2014).
- [۲۴] کوشکی، عماد؛ روشن ضمیر، سوسن؛ بهینه سازی لایه کاتالیست کاتدی در پیلهای سوختی غشای تبادل پروتون، نشریه شیمی و مهندسی شیمی ایران، ۳۴(۳): ۲۱ تا ۳۰ (۱۳۹۴).
- [۲۵] جورشعانی، میلاد؛ بدیعی، علیرضا؛ لشگری، نگار؛ تهیه و شناسایی نانو متخلخل 16-V-SBA و کاربرد آن به عنوان کاتالیست در فرایند اکسایش مستقیم بنزن به فنل، نشریه شیمی و مهندسی شیمی ایران، ۳۴(۳): ۱۳ تا ۲۰ (۱۳۹۴).